

# Akut inferior Miyokard Infarktüsünde Sağ Ventrikül Tutulumu ile Sol Ventrikül Kasılma Bozukluğu Arasındaki İlişkinin Ekokardiyografi Yöntemiyle İncelenmesi

ECHOCARDIOGRAPHIC EVALUATION OF THE RELATIONSHIP BETWEEN RIGHT VENTRICULAR INVOLVEMENT AND LEFT VENTRICULAR CONTRACTION ABNORMALITIES DURING ACUTE INFERIOR MYOCARDIAL INFARCTION

Bařış İLERİGELEN\*, Necati SİRMACI\*\*

\* Doç.Dr.Cerrahpaşa Tıp Fakültesi Kardiyoloji ABD,  
\*\* Prof.Dr.Cerrahpaşa Tıp Fakültesi Kardiyoloji ABD, İSTANBUL

## ÖZET

Bu prospektif çalışmada akut inferior miyokard infarktüsü geçirmekte olan 68 hasta, sağ ventrikül tutulumu ile sol ventrikül ejeksiyon fraksiyonu ve duvar hareket bozukluğu arasındaki ilişki yönünden ekokardiyografik olarak incelendiler. Sağ ventrikül infarktüsü olan 16 hastada (1.grup) sol ventrikül ejeksiyon fraksiyonu  $44.6 \pm 6.5$ , mid-inferior, basal-septal ve basal-inferior segmentlerin eko skorları ise sırasıyla  $2.3 \pm 0.7, 2.5 \pm 0.8$  ve  $2.3 \pm 0.8$  bulundu. Sağ ventrikül tutulumu olmayan 52 hastada (2.grup) sol ventrikül ejeksiyon fraksiyonu  $55.1 \pm 7.1$  mid-inferior, basal-septal and basal-inferior segmentlerin eko skorları ise sırasıyla  $3.7 \pm 0.7, 3.1 \pm 0.7$  ve  $3.2 \pm 0.7$  idi. Kiyaslandığında sol ventrikül ejeksiyon fraksiyonu ve mid-inferior, basal-septal ve basal-inferior segmentlerin eko skorları birinci grupta daha düşüktü (sırasıyla  $p < 0.001$ ,  $p < 0.001$ ,  $p < 0.01$  ve  $p < 0.001$ ). Diğer sol ventrikül segmentlerinin eko skorları yönünden iki grup arasında istatistiksel olarak anlamlı bir fark yoktu. Sonuç olarak, sağ ventrikül infarktüsü eşlik ettiğinde sol ventrikül fonksiyon bozukluğu daha ağır olmakta ve sağ koroner arterle ilişkili segmentlerdeki duvar hareket bozuklukları daha artmaktadır.

## SUMMARY

Sixtyeight patients suffering from acute inferior myocardial infarction were examined echocardiographically to assess the relationship between right ventricular involvement and left ventricular ejection fraction and wall motion abnormalities in this prospective study.

In cases of right ventricular infarction (group 1), left ventricular ejection fraction was found  $44.6 \pm 6.5$ , echo scores of the mid-inferior, basal-septal and basal-inferior segments were  $2.3 \pm 0.7, 2.5 \pm 0.8$  and  $2.3 \pm 0.8$  respectively.

In patients who hadn't right ventricular involvement (group 2), left ventricular ejection fraction was found  $55.1 \pm 7.1$ , echo scores of the mid-inferior, basal-septal and basal-inferior segments were  $3.7 \pm 0.7, 3.1 \pm 0.7$  and  $3.2 \pm 0.7$  respectively.

When compare, left ventricular ejection fraction, echo scores of the mid-inferior, basal-septal and basal-inferior segments were lower ( $p < 0.001$ ,  $p < 0.001$ ,  $p < 0.01$  and  $p < 0.001$  respectively) in the first group. In respect to the echo scores of the other left ventricular segments, there was no statistically significant difference between two groups. As a result when right ventricular infarction accompanies, left ventricular dysfunction is more severe and the left ventricular wall motion abnormalities are commoner in the segments related to the right coronary artery.

**Key Words:** Acute inferior myocardial infarction,  
Right ventricular infarction, Echocardiography

Anahtar Kelimeler: Akut inferior miyokard infarktüsü,  
Sağ ventrikül infarktüsü, Ekokardiyografi

T Klin Kardiyoloji 1995, 8:98-102

T Klin J Cardiol 1995, 8:98-102

Geliş Tarihi: 24.1.1995

Yazışma Adresi: Doç.Dr.Bařış İLERİGELEN  
Cerrahpaşa Tıp Fakültesi  
Kardiyoloji ABD,  
Cerrahpaşa, İSTANBUL

Sağ koroner arter insanların %85-90'ında hem sol ventrikül inferior duvarını, hem de sağ ventrikül serbest duvarını kanlandırmaktadır. Bu arterin proksimal bölümünün tıkanmasında inferior miyokard infarktüsünün yanısıra sağ ventrikülde de nekroz gelişmekte, sağ

ventrikül serbest duvarını besleyen marginal dalları verdikten sonraki (distal) tıkanmalarda ise sağ ventrikül infarktüsü oluşmamaktadır (1-5). Inferior miyokard infarktüsüne eşlik eden sağ ventrikül infarktüsünün görülme sıklığı otopsi çalışmalarında % 1, hemodinamik çalışmalarında ise % 15-20 civarında bulunmuştur. Olguların az bir bölümü hemodinamik olarak anlamlıdır (6-9). İzole sağ ventrikül infarktüsü görülme sıklığı ise %5'in artındadır (4,5,10). Sağ ventrikül infarktüsü tanısında da ekokardiografinin önemli yeri vardır. İki-boyutlu ekokardiografinin bu konudaki duyarlılığı: %82, özgüllüğü: %93 (radyonüklid anjiokardiografiye kıyasla) olarak bildirilmektedir (11-14). Sağ ventrikül infarktüsünü düşündüren başlıca ekokardiografi-Doppler bulguları: sağ ventrikül fonksiyonunda global azalma, sağ ventrikül serbest duvar hareketlerinde bozulma, ventriküler septumun paradoks hareketi, sağ ventrikülde genişleme ve doppler yöntemiyle sağ ventrikül dolum bozukluğunun kaydedilmesi şeklinde sıralanabilir (11-13).

Sağ ventrikül infarktüsü tanısında en güvenilir EKG bulgusu, akut inferior miyokard infarktüsü bulgularına ek olarak sağ prekordial derivasyonlardan en az birinde (özellikle V4R) ST elevasyonunun varlığıdır (15). Sağ ventrikül infarktüsünün varlığı akut inferior miyokard infarktüsünde прогнозun olumsuz yönde etkilenmesine neden olmaktadır. Öte yandan akut miyokard infarktüsünde sol ventrikül fonksiyon bozukluğunun ağırlığı ile kötü прогноз arasındaki ilişki bilinmektedir (16-21). Sol ventrikül fonksiyonlarının sineanjiyografi, radyo-isotopik ventirkülografi ve ekokardiografi-doppler gibi yöntemlerle incelenmesi прогноз tayini yanısıra klinik takip ve tedavinin planlanmasında da önem taşır (22-26). İki-boyutlu ekokardiografi ile sol ventrikül ejeksiyon fraksiyonunun ölçümü ve ventrikül duvar hareketlerinin incelenmesi mümkündür (26-28). Bu çalışmada akut inferior miyokard infarktüsü geçiren hastalardan sağ ventrikül tutulumu olanlar ve olmayanlar sol ventrikül ejeksiyon fraksiyonu ve duvar hareket bozukluğu yönünden karşılaştırıldılar.

## MATERİEL VE METOD

İstanbul Üniversitesi Cerrahpaşa Tıp Fakültesi, Kardiyoloji Anabilim Dalı, Koroner Bakım Ünitesine akut inferior miyokard infarktüsü tanısı ile yatırılan,

1. Daha önce miyokard infarktüsü geçirmemiş,
2. Tromboliitik tedavi uygulanmamış,
3. İlk 24 saat içinde ekokardiografik incelemeye alınabilecek,
4. Ekokardiografik görüntülemeye uygun olan 68 hasta çalışma kapsamına alındı.

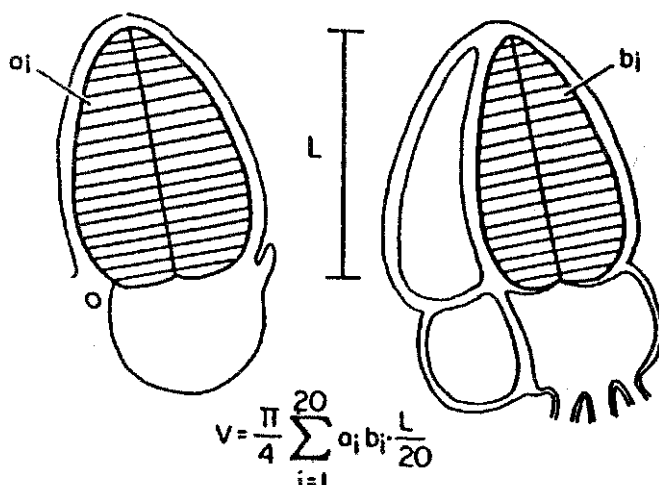
Karşılaştırma gruplarına alınan 68 hastanın 16'sında (%24) gerek EKG ve gerekse ekokardiografı bulguları sağ ventrikül tutulumunu destekliyordu (Lgrup). 52 hastada (%76) ise gerek EKG ve gerekse ekokardiografı verileri sağ ventrikül tutulumunu düşündürmüyordu (2.grup).

1. grupta yer alan, 33-68 yaş sınırlındaki (ortalama yaşı: 59±4) 16 hastanın 12'si (%75'i erkek, 4'ü (%25'i) kadın idi.

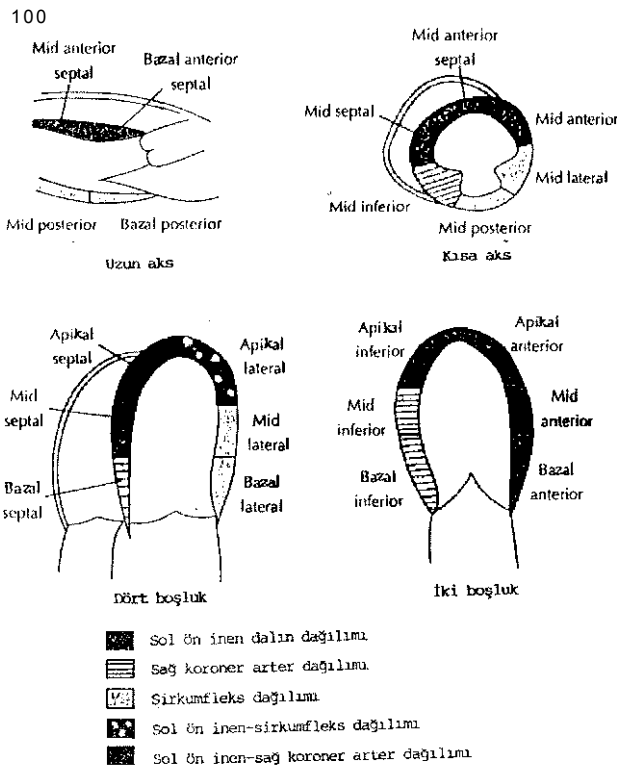
2.grupta yer alan, 42-76 yaş sınırlındaki (ortalama yaşı: 56+7) 52 hastanın 35'i (%67'si) erkek, 17'si (%33'ü) kadın idi.

Akut inferior miyokard infarktüsü tanısı symptom ya da serum enzimlerinde yükselme ile birlikte ya da bunlar olmadan, Dil, Dili, aVF'de geniş Q dalgaları ve eşlik eden spesifik ve seri ST segment ve T dalgası değişikliklerinin görülmesi kriterlerine dayandırıldı (29). Klasik 12 derivasyona ek olarak sağ prekordial derivasyonlardan da EKG kayıtları alındı. Sağ ventrikül infarktüsünü düşündüren EKG bulgusu olarak V4R'de 1 mm'den fazla ST yükseliğinin varlığı kabul edildi (15). Ekokardiografi-Doppler tıkkıkende, "Vingmed Diasonics CFM 700" cihazı kullanılarak, parasternal, apikal ve subkostal pozisyonlardan görüntüleme yapıldı. Sol ventrikül ejeksiyon fraksiyonu (EF) Amerika Ekokardiografi Cemiyetinin önerisi doğrultusunda (30), iki-boyutlu yöntemle elde edilen apikal iki boşluk ve apikal dört boşluk görüntülerinden yararlanarak modifiye Simpson kuralına göre hesaplandı (Şekil 1). Sol ventrikül ejeksiyon fraksiyonu- Diastol sonu volüm - Sistol sonu volüm/Diastol sonu volüm formülü kullanıldı.

Sol ventrikül duvar hareketleri tıkkıkende parasternal uzun eksen, parasternal kısa eksen (papiller kas düzeyinde), apikal iki-boşluk ve apikal dört-boşluk pozisyonlarında (Şekil 2) sistol sonu ve diastol sonunda elde edilen iki-boyutlu görüntülerin çakıştırılması yöntemi uygulandı (Resim 1). Segmentlerin kasılması hiperkinetik: 5, normal: 4, hafif hipokinetic: 3, belirgin hipokinetic: 2, akinetik-diskinetic: 1 şeklinde skorlandı. Değerlendirme yapılamayan segmentler skorlamaya alınmadı (27,28). Sağ ventrikül serbest duvarı ve ventriküler septumun hareketi apikal ve subkostal iki boyutlu görüntülere dayanarak yine bilgisayar yardımıyla (sistol ve



**Şekil 1.** Modifiye Simpson kuralına göre sol ventrikül volümünün hesaplanması.



Şekil 2. Sol ventrikül duvar hareketleri tetkiki.

diastol sırasında çizilen endokard sınırlarının çakıştırılması yöntemiyle) incelendi (Resim 2).

iki-boyutlu ekokardiyografide sağ ventrikül tutulumu varlığı:

1. Global sağ ventrikül fonksiyonu ve serbest duvar hareketlerinde bozulma,
2. Ventriküler septumun paradoks hareketi,
3. Sağ ventrikülde genişleme,
4. Sağ ventrikül ejeksiyon fraksiyonunda düşme (<0.40) kriterlerinden en az ikisinin varlığına (11-13) dayandırıldı. Hastalar ilk 24 saat içinde ve 24-48 saatte olmak üzere iki kez ekokardiyografik incelemeye alındılar. 1. ve 2. gruptaki hastalara ait bulgular ve ekokardiyografik veriler ortalama ± standart deviasyonu (SD) şeklinde ifade edildi ve ortalamaların karşılaştırılması student t testi ile yapıldı.

## BULGULAR

Sol ventrikül ejeksiyon fraksiyonu 1.grupta ortalama:  $44.6 \pm 6.5$ , 2.grupta ise  $55.1 \pm 7.1$  idi. 1.gruptaki ejeksiyon fraksiyonu 2.gruba göre anlamlı derecede ( $p < 0.001$ ) düşük bulundu (Tablo 1).

Sol ventrikül duvar hareketleri tetkikinde apikal-septal, apikal-lateral, apikal-inferior, apikal-anterior, mid-septal, mid-lateral, mid-anterior, mid-posterior, mid-antero-septal, basal-lateral, basal-anterior, basal-antero-septal, basal-posterior segmentlerin kasılması yönün-

den her iki grup arasında anlamlı bir farklılık saptanmadı ( $p > 0.05$ ).

Mid-inferior sol ventrikül segmentinin ortalama eko skoru 1.grupta:  $2.3 \pm 0.7$ , 2.grupta:  $3.7 \pm 0.7$  idi. Bu iki grup arasında anlamlı fark ( $p < 0.001$ ) saptandı (Tablo 1).

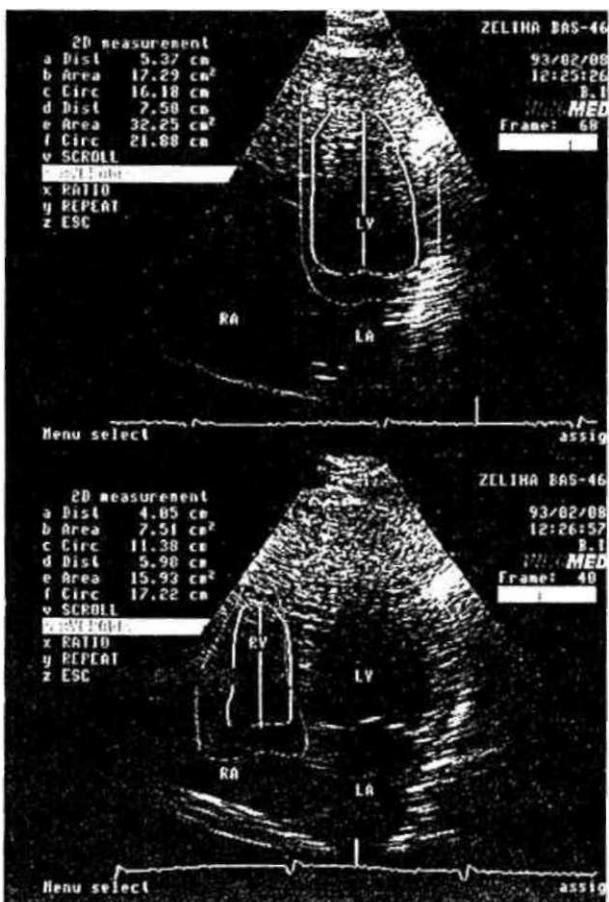
Sol ventrikülün basal-septal segmentinin ortalama eko skoru 1.grupta  $2.5 \pm 0.8$  iken 2.grupta  $3.1 \pm 0.7$  idi. Bu iki grup arasındaki fark istatistiksel olarak anlamlı ( $p < 0.01$ ) bulundu (Tablo 1).

Basal-inferior segmentin kasılması yönünden de iki grup arasında anlamlı fark ( $p < 0.001$ ) kaydedildi. Ortalama skor 1.grupta:  $2.3 \pm 0.8$  iken, 2.grupta:  $3.2 \pm 0.7$  idi (Tablo 1).

1.grupta gerek sol ventrikül ejeksiyon fraksiyonunun ve gerekse sol ventrikül mid-inferior, basal-septal ve basal-inferior segmentlerindeki kasılmaının 2.gruba göre anlamlı derecede düşük olduğu kaydedilmiştir.

## TARTIŞMA

Akut inferior miyokard infarktüsüne eşlik eden sağ ventrikül infarktüsünün varlığında sol ventrikül sistolik fonksiyon bozukluğunun daha belirgin olduğu bazı çalışmalarda ortaya konmuştur (9).



Resim 1,2 Sol ve sağ ventrikül duvar hareketlerinin tetkiki.

Tablo 1. Sağ ventrikül tutulumu olan (grup 1) ve olmayan (grup 2) hastaların sol ventrikül ejeksiyon fraksiyonu ve duvar hareketleri yönünden karşılaştırılması.

Ejeksiyon fraksiyonu	Lgrup $44.6 \pm 6.5$	2.grup $55.1 \pm 0.9$	p değeri $<0.001$
<b>Duvar hareketleri</b>			
Apikal septal	$4.1 \pm 0.7$	$3.8 \pm 0.9$	$>0.05$
Apikal lateral	$3.9 \pm 0.3$	$4.1 \pm 0.7$	$>0.05$
Apikal inferior	$4.1 \pm 0.9$	$3.9 \pm 0.8$	$>0.05$
Apikal anterior	$4.1 \pm 0.5$	$4 \pm 0.7$	$>0.05$
Mid septal	$3.2 \pm 0.9$	$3.1 \pm 0.7$	$>0.05$
Mid lateral	$3.9 \pm 0.6$	$3.9 \pm 0.7$	$>0.05$
Mid inferior	$2.3 \pm 0.7$	$3.7 \pm 0.7$	$<0.01$
Mid anterior	$3.6 \pm 0.7$	$3.6 \pm 0.7$	$>0.05$
Mid posterior	$3.6 \pm 0.5$	$3.6 \pm 0.8$	$>0.05$
Mid anteroseptal	$3.8 \pm 0.9$	$3.5 \pm 0.7$	$>0.05$
Bazal septal	$2.5 \pm 0.8$	$3.1 \pm 0.7$	$<0.001$
Bazal lateral	$3.5 \pm 0.7$	$3.5 \pm 0.5$	$>0.05$
Bazal inferior	$2.3 \pm 0.8$	$3.2 \pm 0.7$	$<0.001$
Bazal anterior	$3.5 \pm 0.8$	$3.6 \pm 0.8$	$>0.05$
Bazal anteroseptal	$3.7 \pm 0.7$	$3.6 \pm 0.6$	$>0.05$
Bazal posterior	$3.1 \pm 0.9$	$3 \pm 0.8$	$>0.05$

Bu çalışmada elde edilen veriler de sağ ventrikül tutulumunun varlığında sol ventrikül ejeksiyon fraksiyonunda anlamlı düşüşün varlığına işaret etmektedir (Tablo 1).

Sağ ventrikül duvar hareketlerindeki değişiklikler irdelediğinde akut inferior miyokard infarktüsüne eşlik eden sağ ventrikül tutulumunun saptandığı ve saptanmadığı gruplar arasında basal-septal, basal inferior ve mid-inferior segmentlerin kasılması yönünden anlamlı farklılığın varlığı dikkat çekmektedir. Sağ ventrikül infarktüsü düşünülen hastalarda bu segmentlerdeki kasılma bozukluğu belirgindir. İki grup arasında diğer segmentlerin kasılması yönünden anlamlı farklılık saptanmamıştır (Tablo 2). Basal inferior, basal-septal ve mid-inferior segmentlerin sağ koroner arter tarafından kanlanıldığı bilinmektedir (28).

Dolayısıyla sağ ventrikül infarktüsünün varlığında bu arterin daha proksimal bölümünde tıkanmanın mevcut olduğu ve buna bağlı olarak kasılma bozukluğunun dahna yaygın olduğu düşünülebilir ve bu yorumla sol ventrikül ejeksiyon fraksiyonundaki düşüşte açıklanabilir. Sol ventrikül ejeksiyon fraksiyonu, kontraktilite, önyük, ard-yük ve bir ölçüde de kalp hızından etkilenmektedir.

Sağ ventrikül infarktüsü olgularında sol ventrikül kasılma bozukluğunun daha yaygın oluşu, ejeksiyon fraksiyonundaki düşüşün bir nedeni olarak gösterilebilir, öte yandan sağ ventrikül infarktüsünün varlığı ön yükü etkileyerek de sol ventrikül ejeksiyon fraksiyonunda düşüşe yol açabılır.

## KAYNAKLAR

1. Baigrie RS, Aminul H, Mc Lean CD. The spectrum of right ventricular involvement in inferior wall myocardial infarction: A clinical, hemodynamic and non-invasive study. *J Am Coll Cardiol* 1983; 1:396-8.
2. Kaul S, Hopkins JM, Shah PM. Chronic effects of myocardial infarction on right ventricular function: A non-invasive study. *J Am Coll Cardiol* 1983; 1:407-11.
3. Robert SR, Marmor AT. Right ventricular infarction. *Ann Rev Med* 1983; 34:377-81.
4. Isner JM. Right ventricular myocardial infarction. *JAMA* 1988 259:712-5.
5. Setaro JF, Cabin HS. The right ventricle. *Cardiology Clinics* 1992; 10-1:69-90.
6. Williams JF. Right ventricular infarction. *Clin Cardiol* 1990; 13:309-11.
7. Tani M. Roles of the right ventricular free wall and ventricular septum in right ventricular performance and influence of the parietal pericardium during right ventricular failure in dogs. *Am J Cardiol* 1983; 52:196-201.
8. Goldstein JA, Barzilai B, Rosamond TL. Determinants of hemodynamic compromise with severe right ventricular infarction. *Circulation* 1990; 82:359-61.
9. Berger PB, Ryan TJ. Inferior myocardial infarction: High-risk subgroups. *Circulation* 1990; 81:401-10.
10. Anderson HR, Falk E, Nielsen D. Right ventricular infarction: Frequency, size and topography in coronary heart disease: A prospective study comprising 107 consecutive autopsies from a coronary care unite. *J Am coll Cardiol* 1987; 10:1223-27.

- of right ventricular systolic function at rest and during exercise with radionuclide ventriculography and respiratory gas exchange. *Circulation* 1987; 75:996-1003-08.
11. Bellamy GR, Rasmussen HH, Nasser FN. Value of two-dimensional echocardiography, electrocardiography, and clinical signs in detecting right ventricular infarction. *Am Heart J* 1986; 112:304-6.
  12. Arditti A, Lewin RF, Hoilman C. Right ventricular dysfunction in acute inferoposterior myocardial infarction: An echocardiographic and isotopic study. *Chest* 1985; 87:307-11.
  13. Jugdutt BI, Sussex BA, Sivaram CA. Right ventricular infarction: Two-dimensional echocardiographic evaluation. *Am Heart J* 1984; 107:505-8.
  14. Panidis IP, Kotler MN, Mintz GS. Right ventricular function in coronary artery disease as assessed by two-dimensional echocardiography. *Am Heart J* 1984; 107:1187-91.
  15. Klein HO, Tardjman T, Ninio R et al. The early recognition of right ventricular infarction: Diagnostic accuracy of the electrocardiography V4R lead. *Circulation* 1983; 67:558-65.
  16. Verdouw PD, Hagemeijer F, van Dorp WG, van der Worm A, Hugenholtz PG. Short-term survival after acute myocardial infarction predicted by hemodynamic parameters. *Circulation* 1975; 52:413-8.
  17. Sanford CF, Corbett J, Nicod P et al. Value of radionuclide ventriculography in the immediate characterization of patients with acute myocardial infarction. *Am J Cardiol* 1982; 49:637-42.
  18. Miller DH, Borer JS. Exercise testing early after myocardial infarction. Risks and benefits. *Am J Med* 1982; 72:427-32.
  19. Becker LC, Silverman KJ, Bulkley BH, Kallman CH, Mellits ED, Weisfeldt M. Comparison of early thallium - 201 scintigraphy and gated blood pool imaging for predicting mortality in patients with acute myocardial infarction. *Circulation* 1983; 67:1272-75.
  20. Holman BL, Chisholm RJ, Braunwald E. The prognostic implications of acute myocardial infarct scintigraphy with 99 M Tc-pyrophosphate. *Circulation* 1978; 57:320-5.
  21. Dell'Italia U, Lembo NJ, Starling MR et al. Hemodynamically important right ventricular infarction: follow-up evaluation
  22. Reduto LA, Berger HJ, Cohen LS, Gottschalk A, Zaret BL. Sequential radionuclide assessment of left and right ventricular performance after acute transmural myocardial infarction. *Ann Intern Med* 1978; 89:441-7.
  23. Weiss JL, Bulkley BH, Hutchins GM, Mason SJ. Two-dimensional echocardiographic recognition of myocardial injury in man: comparison with postmortem studies. *Circulation* 1981; 63:401-8.
  24. Lopez-Sendon J, Garcia-Fernandez MA, Coma-Canella I, Yanguela MM, Banuelos F. Segmental right ventricular functions after acute myocardial infarction: Two-dimensional echocardiographic study in 63 patients. *Am J Cardiol* 1983; 51:390-6.
  25. Himelman RB, Goldberger J, Hui P, Wolfe CL, Schiller NB. Can hemodynamically significant right ventricular infarction be identified by two-dimensional echocardiography? *J Am Coll Cardiol* 1989; 13:157-60.
  26. Braunwald E. Ischemic heart disease. In: Eugene Braunwald ed. A textbook of cardiovascular medicine. Philadelphia: WB Saunders Company, 1992: 97-100.
  27. Hagan AD, De Maria AN. Clinical applications of two-dimensional echocardiography and cardiac Doppler. Boston: Little Brown and Company, 1989:181.
  28. Aldrich HR, Reichek N. Stress echocardiography. *Current Opinion in Cardiology* 1993; 8:978-87.
  29. Ferrer MI. Nomenclature and criteria for diagnosis of the heart and great vessels. Boston: Little Brown and Company, 1979:119.
  30. Schiller NB. Recommendations for quantitation of the left ventricle by two-dimensional echocardiography. *Journal of the American Society of Echocardiography* 1989; 2-5:358-67.